

# Exercício 1

September 21, 2020

## 1 Exercício PA1-1

Exercício com data de entrega para 21 de setembro de 2020.

Aluno: Noé de Lima Bezerra

noe\_lima@id.uff.br

```
[1]: import numpy as np
import sympy as sp
import matplotlib.pyplot as plt
from IPython.display import display, Math, Image
sp.init_printing(use_latex='mathjax', latex_mode='equation*')
```

```
[2]: Image("Figuras/PA1-1.png")
```

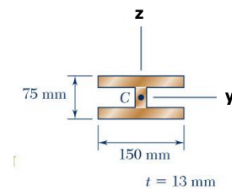
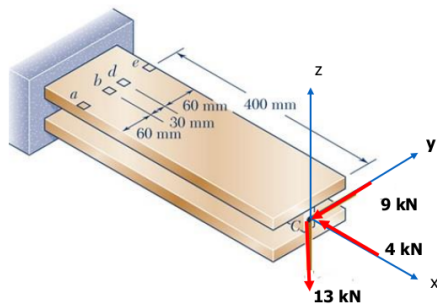
[2]:

### AVALIAÇÃO 2 – EXERCÍCIO PA1-1

Três placas de aço com 13 mm de espessura, são soldadas para formar uma viga em balanço. Para o carregamento mostrado, determine as tensões principais e de cisalhamento máxima:

- a) Ponto a;
- b) Ponto b;
- c) Ponto d;
- d) Ponto e.

Utilizar Círculo de Mohr



## 2 Solução

### 2.1 Esforços Solicitantes

Na seção  $S$ , vista pelo lado direito, temos os seguintes esforços solicitantes:

```
[3]: N = -4000
     Vy = 9000
     Vz = 13000
     Tx = 0
     My = (13e3*400e-3/1e3)*1e6
     Mz = (-9e3*400e-3/1e3)*1e6
     display(Math('N = %d~kN' % (N/1e3)))
     display(Math('|V_{y}| = %d~kN' % (Vy/1e3)))
     display(Math('|V_{z}| = %d~kN' % (Vz/1e3)))
     display(Math('T_{x} = %d' % Tx))
     display(Math('M_{y} = %.2f\\times 10^{6} N\\cdot mm' % (My/1e6)))
     display(Math('M_{z} = %.2f\\times 10^{6} N\\cdot mm' % (Mz/1e6)))
```

$$N = -4 \text{ kN}$$

$$|V_y| = 9 \text{ kN}$$

$$|V_z| = 13 \text{ kN}$$

$$T_x = 0$$

$$M_y = 5.20 \times 10^6 \text{ N} \cdot \text{mm}$$

$$M_z = -3.60 \times 10^6 \text{ N} \cdot \text{mm}$$

### 2.2 Cálculo da Área Total

```
[4]: A = 150*75 - (150-13)*(75-26)
     display(Math(r'A = %d~mm^{2}' % A))
```

$$A = 4537 \text{ mm}^2$$

### 2.3 Momentos de Inércia Estáticos

$$I_y = \frac{13 \times 49^3}{12} + 2 \times \left[ \frac{150 \times 13^3}{12} + 150 \times 13 \times 31^2 \right]$$

$$I_z = \frac{2 \times 13 \times 150^3}{12} + \frac{49 \times 13^3}{12}$$

```
[5]: Iy = 13*(49**3)/12 + 2*(150*(13**3)/12 + 150*13*31**2)
     display(Math(r'I_{y} = %.2f\times 10^{6} mm^{4}' % (Iy/1e6)))
     Iz = 2*13*(150**3)/12 + 49*(13**3)/12
     display(Math(r'I_{z} = %.2f\times 10^{6} mm^{4}' % (Iz/1e6)))
```

$$I_y = 3.93 \times 10^6 \text{ mm}^4$$

$$I_z = 7.32 \times 10^6 \text{ mm}^4$$

## 2.4 Círculo de Mohr

```
[6]: def mohr(s_x,s_y,t_xy):
    if t_xy == 0:
        t_xy = 1e-10 # Evitar divisão por zero!
    z = np.linspace(0,360,360)
    r = np.sqrt((((s_x-s_y)/2)**2)+t_xy**2)
    s_med = ((s_x+s_y)/2)
    tg2tc = -(s_x-s_y)/(2*t_xy)
    tg2tp = -1/(tg2tc)
    tc = np.degrees(np.arctan(tg2tc)/2)
    tp = np.degrees(np.arctan(tg2tp)/2)
    x = s_med + r*np.cos(np.radians(z))
    y = r*np.sin(np.radians(z))
    a = ([s_x,s_x,s_y,s_y,s_x])
    b = ([0,t_xy,-t_xy,0,0])
    # Plot
    text = '\n'.join((
        r'\sigma_{min} = %.1f~MPa$' % (s_med-r,),
        r'\sigma_{max} = %.1f~MPa$' % (s_med+r,),
        r'\tau_{max} = %.1f~MPa$' % (r,),
        r'\theta_{p} = %.0f^{o}$' % (tp,),
        r'\theta_{c} = %.0f^{o}$' % (tc,)
    ))
    props = dict(boxstyle='round', facecolor='wheat', alpha=0.5)
    plt.plot(a,b,x,y)
    plt.xlabel(r"$\sigma$", size=18)
    plt.ylabel(r"$\tau$", size=18)
    plt.title("Círculo de Mohr")
    plt.text(s_med-1.6*r,r,text, fontsize=12, verticalalignment='top',
    ↪bbox=props)
    plt.axis("equal")
    plt.show()
```

## 2.5 Ponto a

### 2.5.1 Tensão Normal $\sigma_x$

$$\sigma_x = \frac{N}{A} - \frac{M_z y}{I_z} + \frac{M_y z}{I_y}$$

```
[7]: sigma_xa = N/A - (Mz*(-75)/Iz) + (My*37.5/Iy)
display(Math(r'\sigma_{xa} = %.2f~MPa' % sigma_xa))
```

$$\sigma_{xa} = 11.86 \text{ MPa}$$

### 2.5.2 Tensão Normal $\sigma_y$

Como não há força comprimindo ou tracionando na direção  $y$ , temos, diretamente:

```
[8]: sigma_ya = 0  
display(Math(r'\sigma_{ya} = %d' % sigma_ya))
```

$$\sigma_{ya} = 0$$

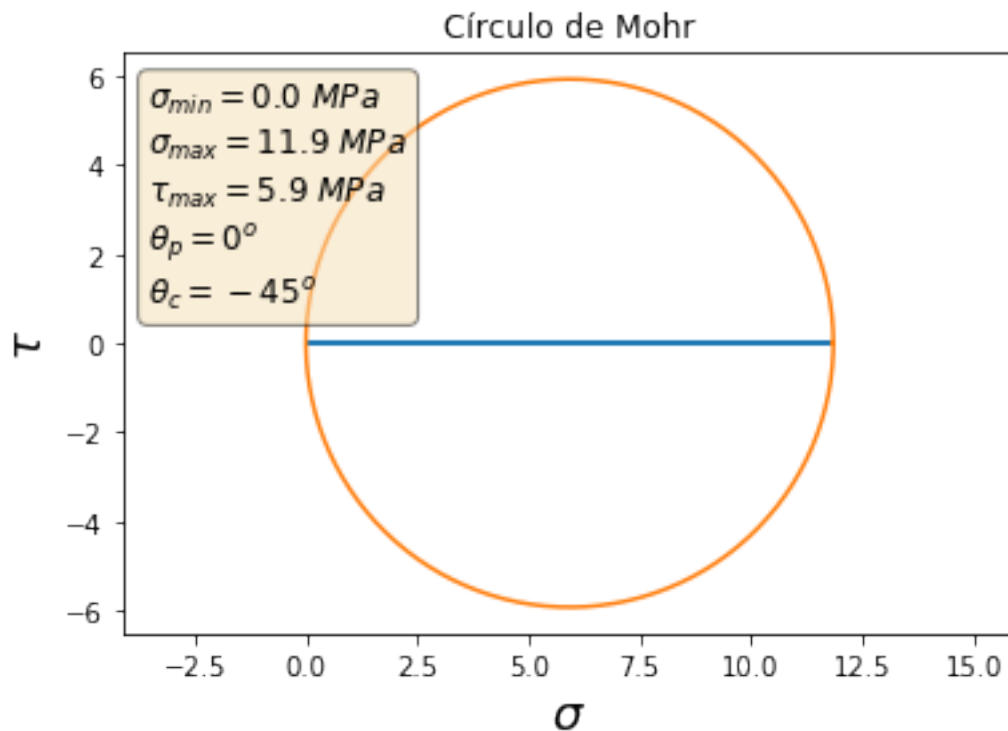
### 2.5.3 Tensão Cisalhante $\tau_{xy}$

$$\tau = \frac{T}{2t\bar{A}} + \frac{V_z Q_y}{b I_y} + \frac{V_y Q_z}{b I_z}$$

```
[9]: tau_xya = 0  
display(Math(r'\tau_{xya} = %d' % tau_xya))
```

$$\tau_{xya} = 0$$

```
[10]: mohr(sigma_xa,sigma_ya,tau_xya)
```



## 2.6 Ponto $b$

### 2.6.1 Tensão Normal $\sigma_x$

```
[11]: sigma_xb = N/A - (Mz*(-15)/Iz) + (My*37.5/Iy)
      display(Math(r'\sigma_{xb} = %.2f~MPa' % sigma_xb))
```

$$\sigma_{xb} = 41.36 \text{ MPa}$$

### 2.6.2 Tensão Normal $\sigma_y$

Como não há força comprimindo ou tracionando na direção  $y$ , temos, diretamente:

```
[12]: sigma_yb = 0
      display(Math(r'\sigma_{yb} = %d' % sigma_yb))
```

$$\sigma_{yb} = 0$$

### 2.6.3 Tensão Cisalhante $\tau_{xy}$

$$Q_{zb} = A' \cdot \bar{y} = (60 \times 13)(30 + 15)$$

```
[13]: Qzb = (60*13)*(30+15)
      display(Math(r'Q_{zb} = %.2f~mm^{\text{3}}' % Qzb))
```

$$Q_{zb} = 35100.00 \text{ mm}^3$$

$$Q_{yb} = A' \cdot \bar{z} = (60 \times 13)(37,5 - 6,5)$$

```
[14]: Qyb = (60*13)*(37.5-6.5)
      display(Math(r'Q_{yb} = %.2f~mm^{\text{3}}' % Qyb))
```

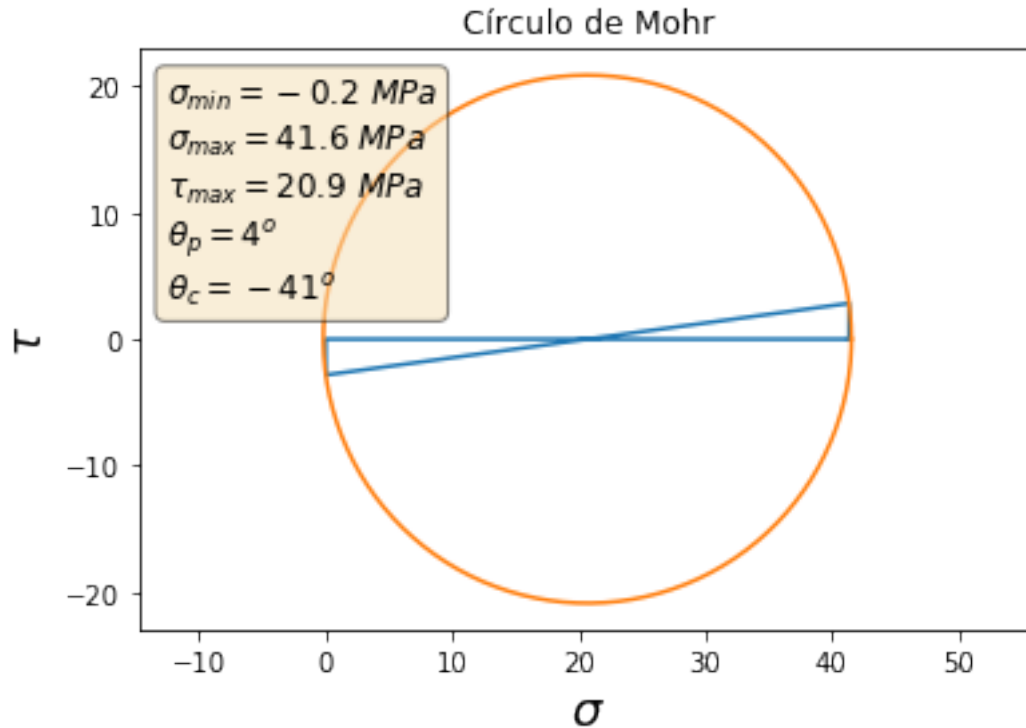
$$Q_{yb} = 24180.00 \text{ mm}^3$$

$$\tau = \frac{T}{2tA} + \frac{V_z Q_y}{b I_y} + \frac{V_y Q_z}{b I_z}$$

```
[15]: tau_xyb = Tx/(26*A) + Vz*Qyb/(13*Iy) - Vy*Qzb/(13*Iz)
      display(Math(r'\tau_{xyb} = %.2f~MPa' % tau_xyb))
```

$$\tau_{xyb} = 2.83 \text{ MPa}$$

```
[16]: mohr(sigma_xb,sigma_yb,tau_xyb)
```



## 2.7 Ponto $d$

### 2.7.1 Tensão Normal $\sigma_x$

```
[17]: sigma_xd = N/A - (Mz*(15)/Iz) + (My*37.5/Iy)
      display(Math(r'\sigma_{xd} = %.2f\text{MPa}' % sigma_xd))
```

$$\sigma_{xd} = 56.11 \text{ MPa}$$

### 2.7.2 Tensão Normal $\sigma_y$

Como não há força comprimindo ou tracionando na direção  $y$ , temos, diretamente:

```
[18]: sigma_yd = 0
      display(Math(r'\sigma_{yd} = %d' % sigma_yd))
```

$$\sigma_{yd} = 0$$

### 2.7.3 Tensão Cisalhante $\tau_{xy}$

$$\bar{d}_{yb} = \frac{2 \times 13 \times 60 \times (30 + 15)}{2 \times 13 \times 60}$$

$$Q_{zd} = A' \cdot \bar{y} = (60 \times 13) (-30 - 15)$$

```
[19]: Qzd = (60*13)*(-30-15)
display(Math(r'Q_{zd} = %.2f~mm^{\text{3}}' % Qzd))
```

$$Q_{zd} = -35100.00 \text{ mm}^3$$

$$Q_{yd} = A' \cdot \bar{z} = (60 \times 13) (37,5 - 6,5)$$

```
[20]: Qyd = (60*13)*(37.5-6.5)
display(Math(r'Q_{yd} = %.2f~mm^{\text{3}}' % Qyd))
```

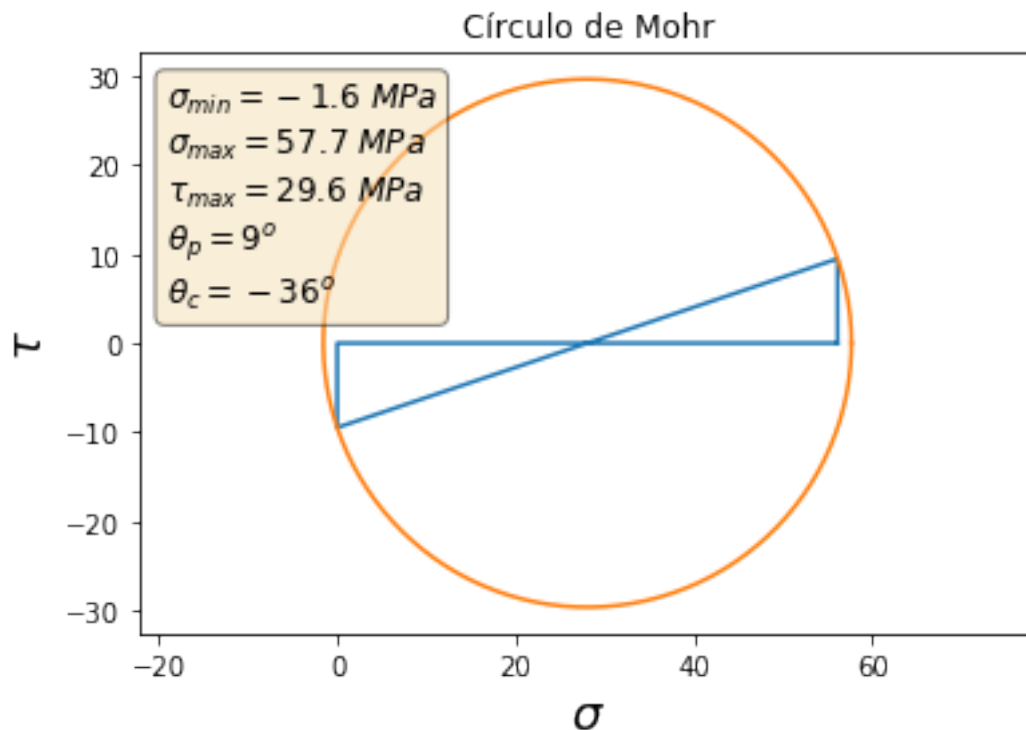
$$Q_{yd} = 24180.00 \text{ mm}^3$$

$$\tau = \frac{T}{2tA} + \frac{V_z Q_y}{b I_y} + \frac{V_y Q_z}{b I_z}$$

```
[21]: tau_xyd = Tx/(26*A) + Vz*Qyb/(13*Iy) + Vy*Qzb/(13*Iz)
display(Math(r'\tau_{xyd} = %.2f~MPa' % tau_xyd))
```

$$\tau_{xyd} = 9.47 \text{ MPa}$$

```
[22]: mohr(sigma_xd,sigma_yd,tau_xyd)
```



## 2.8 Ponto $e$

### 2.8.1 Tensão Normal $\sigma_x$

$$\sigma_x = \frac{N}{A} - \frac{M_z y}{I_z} + \frac{M_y z}{I_y}$$

```
[23]: sigma_xe = N/A - (Mz*(75)/Iz) + (My*37.5/Iy)
      display(Math(r'\sigma_{xe} = %.2f~MPa' % sigma_xe))
```

$$\sigma_{xe} = 85.61 \text{ MPa}$$

### 2.8.2 Tensão Normal $\sigma_y$

Como não há força comprimindo ou tracionando na direção  $y$ , temos, diretamente:

```
[24]: sigma_ye = 0
      display(Math(r'\sigma_{ye} = %d' % sigma_ye))
```

$$\sigma_{ye} = 0$$

### 2.8.3 Tensão Cisalhante $\tau_{xy}$

$$\tau = \frac{T}{2tA} + \frac{V_z Q_y}{b I_y} + \frac{V_y Q_z}{b I_z}$$

```
[25]: tau_xye = 0
      display(Math(r'\tau_{xye} = %d' % tau_xye))
```

$$\tau_{xye} = 0$$

```
[26]: mohr(sigma_xe,sigma_ye,tau_xye)
```



